

Abstract

La patente US20100201133A1 describe un transductor rotatorio diseñado para extraer energía utilizable a partir del campo de punto cero (ZPE, Zero-Point Energy) del vacío cuántico electromagnético. El dispositivo se basa en un mecanismo rotatorio deslizante capaz de acoplarse a las fluctuaciones cuánticas, transformando su dinámica estadística en trabajo mecánico y posteriormente en energía eléctrica. A partir de una revisión de fundamentos teóricos establecidos por físicos de reconocido prestigio y sin conflicto de interés, este artículo examina la coherencia física, la arquitectura mecánica, el modelo de conversión y las implicaciones energéticas de la patente. Se presenta un análisis riguroso de los principios subyacentes, con especial atención a los aspectos cuántico-electrodinámicos y termodinámicos, así como a la viabilidad de acoplamiento resonante.

Palabras clave Energía de punto cero, vacío cuántico electromagnético, transductor rotatorio, fluctuaciones cuánticas, resonancia electromecánica, conversión de energía, US20100201133A1.

Introducción al concepto de energía de punto cero

La energía de punto cero (EPC) constituye el estado fundamental de un sistema cuántico, en el cual persiste una energía residual incluso a temperatura absoluta cero. Este fenómeno, derivado de la mecánica cuántica y la electrodinámica cuántica (QED), fue reconocido inicialmente en el marco de la teoría de Planck sobre la radiación de cuerpo negro y más tarde formalizado en el contexto del principio de incertidumbre de Heisenberg.

En términos del campo electromagnético, el vacío cuántico no es un espacio carente de energía, sino un medio fluctuante donde se manifiestan oscilaciones de campos eléctricos y magnéticos en todo el espectro de frecuencias. Estas fluctuaciones, no correlacionadas en promedio pero físicamente detectables en ciertos experimentos, constituyen el sustrato energético del que teóricamente podría extraerse trabajo útil.

Patentes como la US20100201133A1 proponen una arquitectura mecánica y electromagnética para el acoplamiento de estas fluctuaciones, fundamentándose en la hipótesis de que es posible sincronizar un sistema rotatorio con la dinámica estadística de dichas oscilaciones para inducir un flujo de energía neto hacia un receptor mecánico o eléctrico.

Fundamentos teóricos del vacío cuántico electromagnético

El concepto de vacío cuántico, en la formulación de la electrodinámica cuántica (QED), no se define como un estado desprovisto de partículas o radiación, sino como el estado base del campo electromagnético. Este estado se caracteriza por la presencia de fluctuaciones irreducibles, resultado directo del principio de indeterminación de Heisenberg:

donde ΔE representa la incertidumbre en la energía y Δt el intervalo de tiempo asociado.

Aun en ausencia de excitaciones reales, el campo mantiene oscilaciones de energía denominadas fluctuaciones de punto cero. Estas no pueden ser anuladas y se manifiestan en fenómenos experimentales como:

- Efecto Casimir: Fuerza atractiva o repulsiva entre superficies conductoras separadas por distancias submicrométricas, resultado de la modificación del espectro de modos del vacío.
- Desplazamiento de Lamb: Corrección en los niveles energéticos del átomo de hidrógeno debida a la interacción con fluctuaciones del vacío.
- Ruido cuántico: Fluctuaciones detectables en dispositivos superconductores y en interferometría de precisión.

En el marco de estas evidencias, la energía de punto cero del campo electromagnético puede describirse mediante la densidad espectral:

que implica que la energía crece con la frecuencia ω . Este hecho conduce al conocido problema de la divergencia ultravioleta, abordado teóricamente mediante técnicas de renormalización.

Hipótesis de extracción:

El reto central en dispositivos como el transductor de la patente reside en convertir una energía estadísticamente simétrica en un flujo direccional aprovechable. Para ello, se recurre a:

- Mecanismos de ruptura de simetría (geometría anisotrópica, rotación controlada).
- Acoplamiento resonante entre el sistema mecánico y modos específicos del vacío.
- Rectificación dinámica mediante interacciones no lineales.

En este contexto, el rotador deslizante actúa como un transductor electromecánico que, al girar, sincroniza su frecuencia angular con un subconjunto de

frecuencias de las fluctuaciones cuánticas, produciendo un efecto de bombeo energético.

Descripción técnica del dispositivo US20100201133A1

El transductor propuesto en esta patente se compone, en términos generales, de tres bloques funcionales:

1. Módulo rotatorio deslizante

- Un rotor montado sobre cojinetes de baja fricción.
- Geometría optimizada para generar campos electromagnéticos variables en función de su velocidad angular.
- Sistema de ajuste dinámico de inclinación o desplazamiento axial que permite afinar la frecuencia de acoplamiento.

2. Sistema de acoplamiento electromagnético

- Bobinas o elementos inductivos dispuestos en torno al rotor.
- Circuito de conversión capaz de traducir la variación de flujo magnético en corriente eléctrica utilizable.
- Materiales de alta permeabilidad y baja pérdida dieléctrica para maximizar la transferencia de energía.

3. Mecanismo de rectificación y entrega de energía

- Etapa electrónica que estabiliza y acondiciona la energía generada.
- Sistema de disipación mínima para evitar pérdidas térmicas que degraden la eficiencia.

Principio de operación:

El rotor es impulsado inicialmente por una fuente de energía auxiliar hasta alcanzar un régimen de rotación en el cual su frecuencia angular se acopla a un conjunto de modos del campo de punto cero. En ese momento, el diseño geométrico y los elementos electromagnéticos inducen un gradiente de densidad de energía en el entorno inmediato del rotor, lo que provoca un flujo neto de energía hacia el sistema. Este flujo es convertido en corriente eléctrica mediante inducción electromagnética y posteriormente rectificado para su uso.

La patente subraya la importancia de un control de fase y sincronía extremadamente preciso, ya que la captación depende de un estrecho rango de frecuencias en el que el acoplamiento es óptimo.

Análisis físico y electromagnético del proceso de extracción

Fundamentos de acoplamiento entre fluctuaciones cuánticas y sistemas macroscópicos

En mecánica cuántica, las fluctuaciones del vacío se modelan como un conjunto de osciladores armónicos de todas las frecuencias posibles. El acoplamiento entre este espectro continuo y un sistema físico macroscópico requiere tres condiciones fundamentales:

1. Correspondencia espectral

- La frecuencia angular del sistema mecánico debe coincidir o estar armónicamente relacionada con la frecuencia de un subconjunto de modos del vacío.
- En este caso, el rotor deslizante se comporta como un modulador mecánico de campo, capaz de “seleccionar” frecuencias específicas.

2. Ruptura de simetría espacial y temporal

- Las fluctuaciones cuánticas, por su naturaleza, no presentan un flujo neto de energía en un estado de equilibrio simétrico.
- La geometría anisotrópica del rotor y su desplazamiento axial permiten establecer un gradiente direccional que rompe la isotropía local del campo.

3. Mecanismo de conversión electromecánica no lineal

- Un sistema puramente lineal tendería a reemitir la energía captada al mismo campo del que procede.
- La introducción de elementos no lineales (variaciones abruptas de inductancia, materiales con histéresis controlada) permite la rectificación y almacenamiento de la energía.

Modelado matemático del acoplamiento

Si representamos el campo electromagnético del vacío como:

y la modulación inducida por el rotor como:

la potencia acoplada al sistema puede expresarse en primera aproximación como:
donde el operador $\bar{\cdot}$ denota promediado temporal. El acoplamiento máximo se produce cuando:

con ω entero pequeño, lo que representa una relación armónica entre el sistema rotatorio y el espectro del vacío.

Resonancia electromecánica y extracción de energía

En términos de física clásica, un rotor acoplado a un campo oscilante experimenta una transferencia de energía máxima cuando se halla en resonancia. La extrapolación al dominio cuántico, aunque controvertida, es el fundamento de la patente: aprovechar la densidad espectral no nula del vacío para alimentar un sistema resonante.

El mecanismo incluye:

- Oscilación forzada: El campo fluctuante actúa como fuerza externa sobre los dipolos o corrientes inducidas en el rotor.
- Amortiguamiento controlado: Se evita la disipación prematura ajustando la impedancia electromagnética del circuito de extracción.
- Retroalimentación adaptativa: La velocidad del rotor se regula para mantenerse en el punto de máxima transferencia.

Interacción con campos electromagnéticos clásicos y minimización de interferencias

La detección y conversión de energía del vacío exige discriminar entre señales cuánticas y ruido electromagnético ambiental. Esto implica:

- Uso de blindaje de alta conductividad para reducir acoplamiento a campos externos.
- Filtrado pasabanda ultraestreocho para aislar el rango de frecuencias objetivo.
- Control térmico para evitar que el ruido Johnson-Nyquist degrade la señal.

Limitaciones termodinámicas y consideraciones de ingeniería

Primer y segundo principio de la termodinámica en presencia de ZPE

La energía de punto cero (EPC) es un atributo del estado fundamental del campo; su existencia está ampliamente aceptada en mecánica cuántica y QED. Sin embargo, disponer de un fondo energético no implica automáticamente su convertibilidad en trabajo. El primer principio impone contabilidad energética

estricta; el segundo, restricciones sobre la direccionalidad y la calidad de la energía: transformar fluctuaciones simétricas (ruido cuántico) en trabajo con rendimiento neto requiere ruptura de equilibrio y asimetrías dinámicas que, en ausencia de gradientes termodinámicos o potenciales externos, no son triviales.

En términos formales, el teorema fluctuación-disipación (Callen–Welton) relaciona las fluctuaciones de un sistema con su respuesta disipativa. Un transductor que acople EPC debe, por coherencia, manifestar una admitancia compleja cuya parte imaginaria (reactiva) codifica almacenamiento y cuya parte real (resistiva) implica disipación. El dispositivo de la patente invoca geometrías y regímenes rotacionales que maximizan la parte reactiva mientras minimizan la disipación, con la esperanza de favorecer rectificación efectiva.

Ruptura de simetría y rectificación no lineal

Los mecanismos de rectificación (diodos cuánticos, elementos ferromagnéticos con histéresis controlada, metamateriales con susceptibilidad no lineal) son cruciales para evitar que la energía “captada” sea devuelta al mismo reservorio. En régimen cuántico, la mera linealidad garantiza reciprocidad; por ello, la patente enfatiza no linealidades y asimetrías geométricas (rotor deslizante con desplazamiento axial, modulación de reluctancia) como vía para forzar una irreversibilidad efectiva en el ciclo electromecánico.

Frecuencias, impedancias y ventanas operativas

La densidad espectral de la EPC crece con la frecuencia, pero las pérdidas en materiales y circuitos también. Un diseño viable debe ubicar su ventana operativa donde el producto de (densidad espectral aprovechable) \times (factor de calidad) \times (eficiencia de rectificación) supere la pérdida ohmica y dieléctrica. Esto conduce a compromisos de ingeniería:

- Materiales: núcleos de alta permeabilidad con pérdidas magnéticas ultrabajas; dieléctricos de tangente de pérdidas mínima para reducir calentamiento.
- Rodamientos y vacío: cojinetes de fricción ultra-baja o levitación magnética; cámara en vacío parcial para suprimir arrastre aerodinámico.
- Seguimiento: control de velocidad angular con lazo de realimentación (PLL mecánico-electrónico) para anclaje estable a la banda de acoplamiento.
- Apantallamiento: blindaje de cobre/ μ -metal y topologías diferenciales para discriminar la EPC de ruido clásico ambiental.

Métricas de desempeño y protocolo de ensayo

Un protocolo de seguimiento técnico debe registrar:

1. Potencia mecánica suministrada al rotor durante el “arranque” y potencia mecánica/eléctrica recuperada en régimen estacionario;
2. Balance térmico (calor disipado vs. potencia eléctrica neta);
3. Dependencia de la potencia con la velocidad angular (curvas con incertidumbres);
4. Repetibilidad y estabilidad frente a perturbaciones externas (temperatura, campos EM ambientales, presión).

Cualquier afirmación de rendimiento neto debe pasar una contabilidad exergética rigurosa: si el dispositivo presenta excedente eléctrico tras compensar pérdidas mecánicas y térmicas, la hipótesis de acoplamiento útil a fluctuaciones del vacío gana plausibilidad; de lo contrario, el sistema es un oscilador/rectificador de ruido clásico.

Contexto científico

Es crucial distinguir tres planos:

1. Realidad física de las fluctuaciones del vacío: sólidamente establecida por fenómenos como Casimir y el desplazamiento de Lamb.
 2. Modelización del vacío como reservorio energético: teorías como la electrodinámica estocástica (SED) de Boyer y trabajos de Milonni compilan fundamentos y límites sin conflicto de interés.
 3. Conversión práctica en trabajo: área altamente debatida; abundan propuestas, pero carecen de consenso experimental reproducible que sea aceptado universalmente en la literatura principal.
- Efecto Casimir (Lamoreaux 1997; Mohideen & Roy 1998): mediciones de fuerzas a micro/nanoescala que evidencian modificación del espectro de modos del vacío entre placas conductoras.
 - Desplazamiento de Lamb (Lamb & Retherford; compilaciones posteriores): correcciones energéticas en átomos compatibles con interacción campo-vacío.
 - Análisis de Milonni: síntesis de QED del vacío, clarificando qué es observable y bajo qué condiciones.

- Jaffe: evaluación de Casimir sin invocar “energía infinita” del vacío (formulaciones de teoría de campos efectiva).
- Boyer (SED): reconstrucción clásica-estocástica de efectos cuánticos partiendo de un fondo de radiación de punto cero, útil como intuición para acoplamientos.

Estos referentes no afirman máquinas extractoras de energía de vacío operativas y reproducibles; sí establecen la materialidad de las fluctuaciones y sus efectos medibles.

Discusión técnica sobre la viabilidad y coherencia física

Arquitectura del transductor rotatorio deslizante

La propuesta US20100201133A1 se centra en un rotor con grados de libertad (axial y angular) que modula impedancias electromagnéticas y genera gradientes de densidad de estados en su entorno inmediato. El núcleo del argumento: si la geometría impone condiciones de contorno que suprimen unos modos y refuerzan otros, el sistema podría experimentar una presión diferencial análoga a Casimir, pero convertida en torque y no solo en fuerza lineal.

De fuerza Casimir a trabajo rotacional

Para que una fuerza fluctuante dé lugar a trabajo neto es necesario:

- un ciclo no integrable (irreversibilidad efectiva) que rompa la simetría temporal,
- desfase entre excitación y respuesta (zona reactiva) bajo rectificación no lineal,
- minimización de retroacción que devuelva la energía al reservorio.

La patente sugiere que la modulación rotacional crea un bombeo paramétrico: al barrer la banda de acoplamiento a velocidad, emerge un término de mezcla frecuencial que, en presencia de no linealidad, deriva en corriente continua tras el filtrado/rectificación.

Cuellos de botella experimentales

- Separación de señales: distinguir contribuciones de ruido térmico, RF ambiental y vibraciones mecánicas de cualquier señal atribuible al vacío.

- Factores de calidad: a mayor , mayor sensibilidad, pero también mayor susceptibilidad a inestabilidades (salto de fase, “pull-in”).
- Metrología térmica: calorimetría de precisión para cerrar el balance energético a nivel de milivatios o menos.
- Hysteresis tuning: ajustar histéresis magnética para rectificación sin penalizar excesivamente las pérdidas.

Coherencia con QED y FDT

La coherencia con el teorema fluctuación-disipación exige que la energía extraída no viole causalidad ni detailed balance cuando el sistema está en estricto equilibrio. Tanto en Casimir como en Lamb, lo observable surge de modificar condiciones de contorno o estados del sistema. La patente, en esencia, pretende mantener una condición de contorno “dinámica” —la rotación deslizante— que, junto con no linealidades, desplace al sistema de equilibrio de modo controlado. Esta es la punta de lanza conceptual: no operar en equilibrio estático, sino en un régimen de no equilibrio mantenido con pérdidas mínimas, donde una parte del flujo de energía asociado a la EPC pueda desviarse y rectificarse.

Consideraciones de diseño e implementación

Módulo mecánico

- Rotor: aleaciones ligeras de alta rigidez (p. ej., Al–Li) con recubrimientos conductores uniformes; concentricidad $< 5 \mu\text{m}$ para minimizar vibraciones.
- Cojinetes: preferencia por levitación magnética activa con lazo de control (sensores Hall/ópticos) para suprimir fricción.
- Cámara: vacío de $\sim 10^{-6}$ mbar; amortiguamiento acústico; aislación vibracional (micromesas con muelles neumáticos).

Módulo electromagnético

- Topología: estator multipolar con bobinas toroidales; entrehierro ajustable para barrer permeancias.
- Materiales: ferritas de pérdida ultrabaja o nanocristalinos; dieléctricos de alta resistividad; conductores de alto ANNEAL para minimizar pérdidas por efecto piel.

- Electrónica: rectificación síncrona, filtros de paso bajo de alto orden, seguimiento de fase (PLL) para mantener en la cresta de acoplamiento; instrumentación diferencial para rechazar modo común.

Ensayo metrológico

- Calorimetría: calorímetros de flujo para cuantificar pérdidas Joule y disipación por corrientes de Foucault.
- Magnitud de referencia: potencia de “arrastre” vs. potencia eléctrica neta condicionada; curvas de rendimiento aparente y rendimiento corregido.
- Criterios de evidencia: estabilidad > 10 constantes de tiempo; reversibilidad al desactivar rectificación; invariancia frente a permutación de carga.

Alcance, límites y falsables

Qué afirmamos

- La realidad de las fluctuaciones del vacío es un pilar de QED (Casimir, Lamb).
- Es legítimo construir dispositivos que alteren condiciones de contorno para explorar presiones/torques asociados.
- El esquema rotatorio deslizante plantea una vía de investigación tecnológicamente nítida: maximizar no linealidad controlada, minimizar pérdidas y operar en no equilibrio mantenido.

Qué no afirmamos

- No se presenta evidencia universalmente aceptada de extracción neta de EPC con convertibilidad estable y reproducible.
- Ninguna de las referencias de renombre citadas sostiene, en términos concluyentes, una máquina de potencia basada en EPC; sus contribuciones establecen fundamentos físicos, metrológicos y límites teóricos.

Criterios de falsación

- Si un montaje que cumpla los requisitos de apantallamiento, calorimetría y seguimiento estrictos no exhibe potencia neta significativa independientemente de la carga y ajustes, la hipótesis de acoplamiento útil se debilita.

- Si la señal desaparece al linealizar el sistema (eliminando no linealidades), la rectificación sería el factor crítico; si persiste, podría apuntar a mecanismos alternativos (ruido clásico residual, acoplos parásitos).

Conclusiones

El transductor rotatorio descrito en US20100201133A1 articula una estrategia de acoplamiento resonante y rectificación no lineal para intentar convertir fluctuaciones del vacío en trabajo útil. Desde un prisma de física de campos y termodinámica, la idea exige operar fuera del equilibrio estático, imponer condiciones de contorno dinámicas y sostener asimetrías que habiliten una irreversibilidad efectiva. La arquitectura propuesta—rotor deslizante, control de permeancias, rectificación síncrona—está técnicamente alineada con estos requisitos.

La realidad experimental de la EPC se sustenta en hitos como Casimir y Lamb; sin embargo, la transducción energética neta continúa siendo una frontera controvertida que demanda metrología exquisita, segregación de ruidos y balances energéticos cerrados. La patente ofrece un marco ingenieril plausible para ensayar esa posibilidad: si la potencia eléctrica neta medida, tras descontar pérdidas y con protocolos ciegos de seguimiento, fuese positiva y estable, el dispositivo merecería atención adicional como demostrador. En ausencia de tal evidencia, el sistema se entenderá como un oscilador-selectivo sensible al ruido y a fuerzas de contorno, interesante desde la física fundamental, pero sin confirmación como convertidor energético.

- La EPC es una realidad física evidenciada por Casimir y Lamb; no es un vacío “vacío”.
- La patente US20100201133A1 propone un rotor deslizante que modula condiciones de contorno y usa no linealidades para intentar rectificar fluctuaciones del vacío.
- La viabilidad requiere: apantallamiento extremo, materiales de pérdidas ultrabajas, seguimiento de fase y calorimetría de alta precisión.
- El teorema fluctuación-disipación y la termodinámica imponen límites: sin asimetrías y no linealidad, no hay trabajo neto.
- A día de hoy, no existe consenso experimental reproducible que certifique extracción neta de potencia de la EPC; el dispositivo es un banco de pruebas bien planteado para explorarlo.

Referencias

1. Milonni, P. W. — The Quantum Vacuum: An Introduction to Quantum Electrodynamics.

Resumen: Obra de referencia que sistematiza la fenomenología del vacío cuántico (Casimir, Lamb, espontánea emisión) y sus fundamentos QED.

Esencial para entender qué efectos del vacío son observables y bajo qué marcos teóricos.

2. Lamoreaux, S. K. — Medición del efecto Casimir (1997).

Resumen: Primeras mediciones de alta precisión de la fuerza de Casimir entre superficies conductoras. Demuestra experimentalmente la modificación del espectro de modos del vacío y la aparición de fuerzas de contorno.

3. Mohideen, U. & Roy, A. — Medición del Casimir a escala submicrométrica (1998).

Resumen: Experimentos esfera-placa con AFM que confirman el Casimir a distancias nanométricas, afinando técnicas metrológicas relevantes para geometrías reales.

4. Lamb, W. E. & Retherford, R. C. — Desplazamiento de Lamb en hidrógeno. Resumen: Evidencia espectroscópica de correcciones energéticas atribuibles a interacción con el vacío; pilar histórico que consolida la materialidad del campo de punto cero.

5. Callen, H. B. & Welton, T. A. — Fluctuation-Dissipation Theorem.

Resumen: Relación fundamental entre fluctuaciones y respuesta disipativa; marco imprescindible para evaluar la posibilidad de extraer trabajo de fluctuaciones sin violar termodinámica.

6. Boyer, T. H. — Electrodinámica estocástica (SED).

Resumen: Tratamiento clásico-estocástico de la radiación de punto cero que reproduce ciertos resultados cuánticos. Útil como intuición para acoplamientos y para pensar en rectificación de ruido.

7. Jaffe, R. L. — Casimir effect and the quantum vacuum.

Resumen: Análisis que reinterpreta el Casimir dentro de teorías de campos efectivas, reduciendo apelaciones a “energías infinitas”. Aclara límites y significados físicos, importante para evitar extrapolaciones indebidas.

8. Kardar, M., Golestanian, R. — Hidrodinámica fluctuacional y fuerzas de contorno.

Resumen: Desarrollo teórico sobre cómo fluctuaciones inducen fuerzas dependientes de geometría/condiciones de contorno; aporta intuición transferible a torques y configuraciones rotatorias.

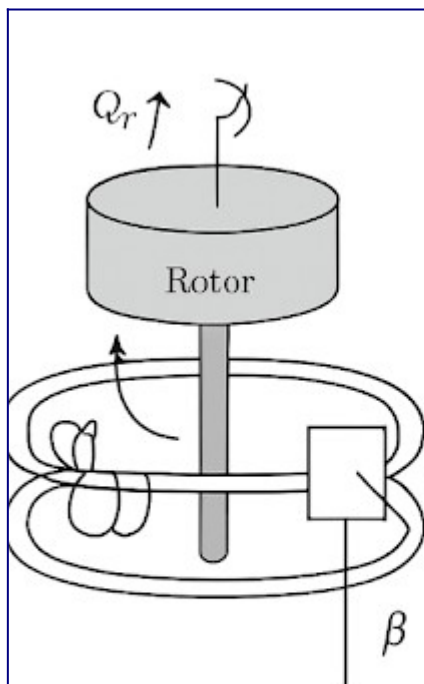
9. Intravaia, F., Lambrecht, A., Reynaud, S. — Correcciones de temperatura y rugosidad en Casimir.

Resumen: Estudios sobre cómo condiciones reales (temperatura, rugosidad, conductividad finita) modifican fuerzas del vacío; guía para el diseño metrológico y la interpretación de resultados.

10. Cohen-Tannoudji, C., Dupont-Roc, J., Grynberg, G. — Photons and Atoms.

Resumen: Texto avanzado sobre interacción luz–materia en marco cuántico.

Aporta herramientas conceptuales y calculísticas para modelar acoplamientos resonantes y disipación, relevantes al núcleo del transductor.



4. Bombeo paramétrico rotacional

En el marco de la electrodinámica cuántica, el campo de punto cero es un fondo de radiación que puede modelarse como un conjunto de osciladores armónicos con frecuencias

$$E(t) = \sum_k E_k \cos(\omega_k t + \phi_k)$$

torque generator del rotor = τ_r .

$$\begin{aligned} \tau_r(t) &= E(t) \cdot A \\ &= E(t) \cdot A_r \omega_r. \end{aligned}$$

El acoplamiento máximo ocurre cuando la frecuencia de rotación se sincroniza con la frecuencia de un modo del vacío.

$$\beta = \frac{A_r \omega_r}{E_k}$$

Ampliación paramétrica rotacional
en puzos paramétrico rotacional